

旋光譜*与有机化合物分子結構的关系

黃鳴龍

(中国科学院有机化学研究所)

对于研究有机化合物結構比紅外綫光譜更新的物理方法是测定試體的旋光譜。这是利用一种仪器测定試體在紫外及可見光的範圍內各波長的旋光度，將这种各种波長的旋光度按波長列成图譜，便成为旋光譜。

旋光譜是以照光的波長($m\mu$)为横座标，以比旋(Specific rotation) $\times 10^{-2}$ 为縱座标，如下列各图所示。

觀察試體的旋光譜，便可按照若干已知的規律帮助推定分子的結構。其实这种方法早在一百多年前已有人应用，不过因仪器構成不能合格，所以它的应用难以推广。直到近几年来，由于新的精密仪器出現，始有人开始系統地研究分子結構与其旋光譜的关系。Carl Djerassi 可以說是首先有系統地研究甾体化合物的旋光譜的。他以甾体为研究对象是因为甾体化合物甚多，結構(包括構型与構象)大都已經明悉，并且它們的分子結構与其紫外綫光譜的关系几都了解。这許多結果及認識对于解釋各種旋光譜的情况有极大的幫助。我們曉得，化合物的旋光性是由于分子中不对称中樞而引起的，如果在不对称中樞的鄰近有色羣(Chromophore)如 $>C=O$ 及 $>C=C<$ 等等存在，则这种色羣当然能影响分子的旋光性能，并且使得在不同波長区域內的旋光性都受到显著的变更。旋光譜就是根据这种性質而形成。旋光譜上所表示的波長範圍是 700—250 $m\mu$ 。茲因限于篇幅，只拟举若干实例約略說明旋光譜对于分子結構的关系，以及其帮助研究分子結構的具体情况。

在說明各种具体实例之前，須說明 Djerassi 及 Klyne (Proc. Chem. Soc., 55, 1957) 对于旋光譜所采用的各种特殊名称及各种用以表示曲線情況的标记，然后更先述及旋光譜应用範圍的概論。

物質的旋光曲線可分为三种形式：

(一)平坦的曲線(Plain Curves): 參看图 1 即知梗概。若干化合物因其分子中并不含色羣(例如酮基)，在光学上沒有活性吸收綫，故其旋光曲線是平坦的。例如 Deoxycholic acid，即 $3\alpha:12\alpha$ -Dihydroxy

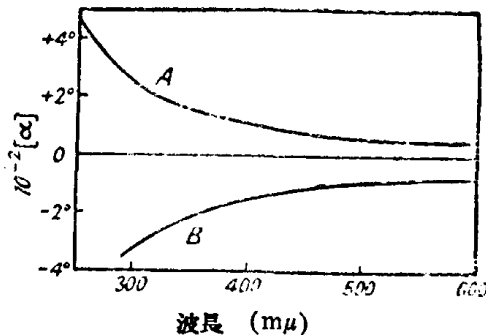
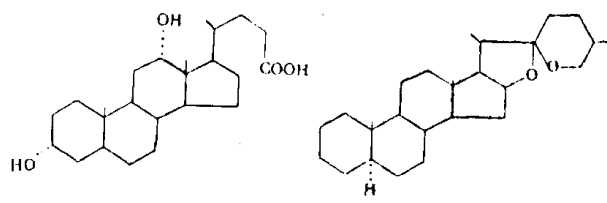


图 1

A 为 Deoxycholic acid(阳面)
B 为 $5\alpha:22\alpha$ -Spirostan(阴面)



(A)

(B)

cholic acid(A) 及甾体皂素骨架 $5\alpha:22\alpha$ -Spirostan(B) 都是如此，不过 A 的曲綫在阳面(Positive)，B 的曲綫在阴面(Negative)。它們都无峯尖(Maximum)及山凹(Minimum) (在本法中，前者称之为 Peak，后者称之为 Trough)。

(二)單純的 Cotton 效應曲綫(Single Cotton Effect Curve): 如分子中含有色羣，則有異常的旋光曲綫，即有峯尖(Peak)与山凹(Trough)。这种異常的曲綫称之为 Cotton 效應曲綫(Am. Chem. Physik, 1896, 8, 347)。如果曲綫只有一个峯尖和一个山凹，则称之为單純的 Cotton 效應曲綫。图 2 上 C 的峯尖与其山凹的距离称为振幅(Amplitude, 简写为 a)，峯尖与山凹之寬度为寬幅(Breadth, 简写为 b)。

(三)复合 Cotton 效應曲綫: 如果化 合物的旋光

* 英文名为“Optical Rotatory Dispersion”(简写为 R. D.)，我简译之为旋光譜。

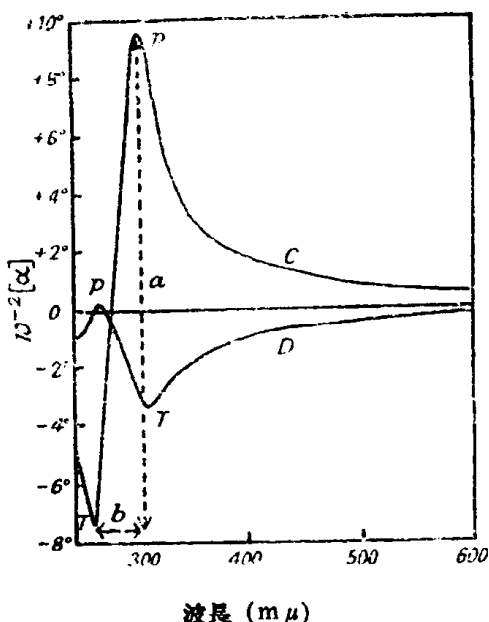
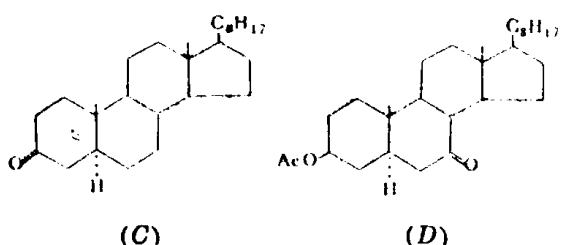
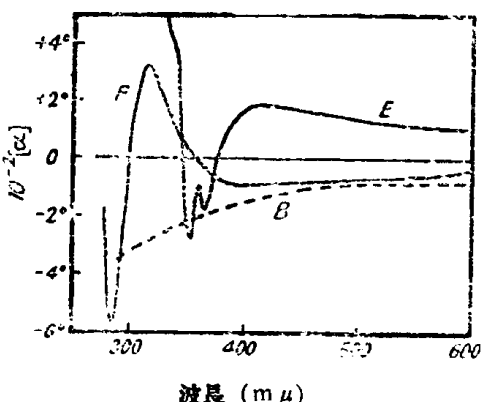


图2 单纯的Cotton 效应曲綫

C 为 5α -Cholestan-3-one (阳面);
 D 为 3β -Aretoxy- 5α -cholestan-7-one (阴面)。
 a (amplitude, 振幅, P 到 T 的距离)。
 b (breadth, 宽幅), P (Peak, 峰尖), T (Trough, 山凹)。



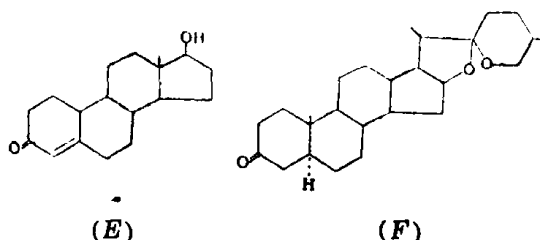
曲綫有多个峯尖及山凹如图3所示 (Testosterone 旋光曲綫)，称之为复合 Cotton 效应曲綫。



3 其中 E 为复合 Cotton 效应曲綫

E 为 Testosterone (阳面), F 为 $3\text{-Oxo-}5\alpha\text{:}22\alpha$ -spirostane (峰尖在阳面, 但曲綫连接于阴面曲綫上), B 为 $5\alpha\text{:}22\alpha$ -spirostane (在阴面的平坦曲綫)。

以上是說明三类曲綫的形成。現在更以上列三图作例，說明以数字及标记表示旋光曲綫的方法。图1中 A 的旋光曲綫(在甲醇中测定)，可以用下列标记及



数字表示，即 $[\alpha]_{700} + 35^\circ$ (图中纵坐标上的数字是表示百数); $[\alpha]_{589} + 50^\circ$; $[\alpha]_{260} + 474^\circ$ 。图2上 O 的旋光曲綫可用下法表示 (这为英国人习用的表示方法，同上述美国人所用方法不同之处是将 $[\alpha]$ 右下的波長数字写在括弧内。而在 $[\alpha]$ 右上加上溫度数字)，
 $[\alpha]^{29-81}(700m\mu) + 37^\circ$; $(589) + 55^\circ$; $(307) + 959^\circ$;
 $(267) - 740$; $(245) - 362$ 。图3上 E 的旋光曲綫仍应用美国人的标记法 [R. D. 在 dioxan 中 (C. 0.1)],
 $[\alpha]_{700} + 62$; $[\alpha]_{589} + 103$; $[\alpha]_{420-405} + 180^\circ$ (宽峯尖);
 $[\alpha]_{366} - 177$; $[\alpha]_{380} - 95$; $[\alpha]_{352} - 282^\circ$; $[\alpha]_{340-327} + 390^\circ$; $[\alpha]_{325} + 1339^\circ$; $[\alpha]_{275} + 2935^\circ$ 。

以上說明若干旋光曲綫的命名以及标记情况。茲再說明应用旋光譜推定有机物結構及構型的概要 (参考 Carl Djerassi 在美国化学会第十七次有机化学論文会上的报告及其在 J. A. C. S., 1958, 3986, 4001 发表的論文)。

应用旋光曲綫測定方法，(1) 可以推定酮基在多环系統化合物中的地位，(2) 分析鑑定若干有机物質及測定化学反应进行的情况及速度，(3) 追究若干难于測定的構象及立体的的变化，(4) 测定絕對構型。

(一) 酮基地位：关于此类的研究工作，Djerassi 最初是在甾体范围以内进行的，因为此种化合物的分子中含有若干連接的不均等碳素，酮的位置几都鄰近不均等碳原子 (I)，因而各个地位酮基的旋光曲綫因受不同的影响故易于鑑別其地位 [参考 Djerassi 等工作, J. A. C. S., 77, 4350, 4359, 4363 (1955); 78, 440, 3163, 3761 (1956)]，茲举例說明如下。 Cholestan-2-one (II) 与 Cholestan-4-one (III) 虽骨架、边鏈及結構完全相同，但兩者之旋光曲綫则大有差異 (参看图4)。(II)現出 2-keto- 5α -sterol 的特征，(III)显出4-keto- 5α -sterol 的特征。我們可以說，除本法以外别无其他物理方法可以看出如此显著的区别。

从图5可以看出本法对于立体变化的灵敏程度。 IV 及 V 的区别仅在 A/B 环中 C₅ 上的構型，而其旋光曲綫竟有如此显著的区别。IV 的曲綫是 3-keto- 5α -steroid 的特征，V 的曲綫是 3-keto- 5β -steroid

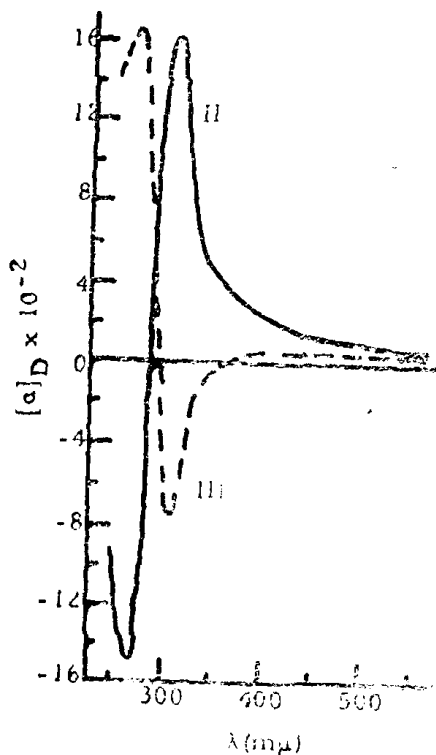
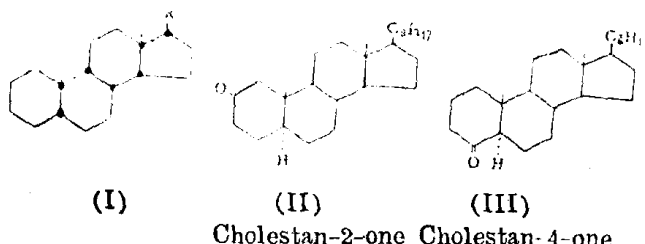


图 4

从 0—16 (阳面) 0—16 (阴面)



的特征。

(二) 分析鑑定及反應動態：本法在分析上的利用可舉下例述明：萜類 VII 的比旋光度為 $[\alpha]_D - 42^\circ$ ，這種旋光度不大，測定時當然需要相當大的濃度。而此物根據其旋光曲線的測定知其在 $290\text{m}\mu$ 左近的比旋光度為 $-18,400^\circ$ ，以故用微量分析方法測定其旋光曲線，只需微量檢體（遠在 1mg 以下）即可準確地鑑定。

觀下圖（圖 6）即可明悉本法能應用以追究反應的動態及速度。

圖中 III 为 Cholestan-4-one, VI 为 Coprostan-4-one 的旋光曲線。VI 为順式異構體，極易因酸或碱变为逆式異構體（III）。此种異構化的動態甚難借隨時測定其在鈉光下面的旋光度之變動而推定，因兩者的旋光度差數不過 17° 。但若利用旋光曲線測定方法如圖 6 所示，則極易隨時觀察其動態，推定其速度，因為 VI 及 III 的旋光曲線大有差別，在光波 $300\text{m}\mu$ 左近兩者的比旋光度相差在 1000° 以上。

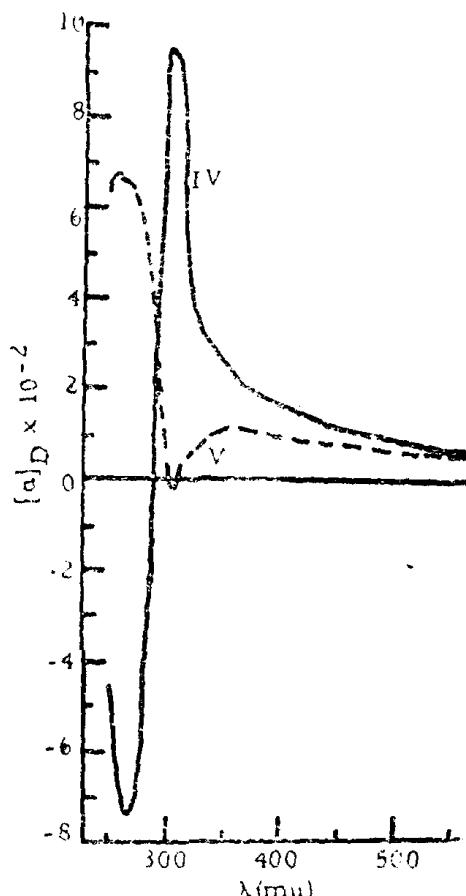
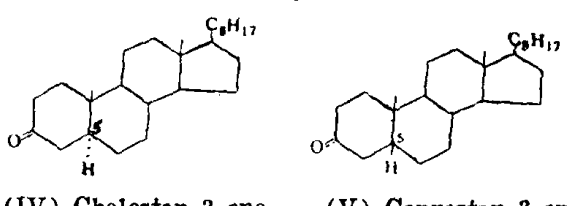


图 5



(三) 追究構象及立體上的變化：這是本法極重要的一个用途。其實我們看上列第五、第六兩圖，已可以看出旋光曲線因立體上微有變動即大為改變〔參看 J. Am. Chem. Soc., 78 6362, 6377 (1956)〕。又如由

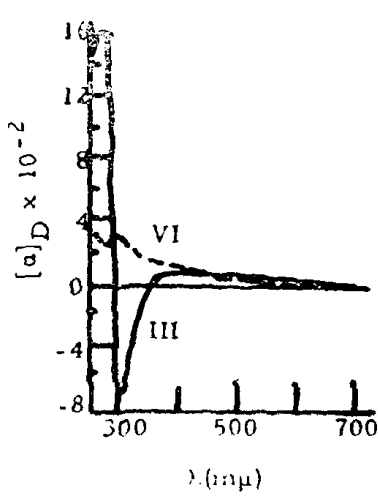
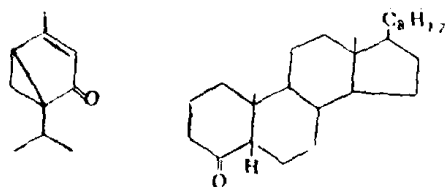
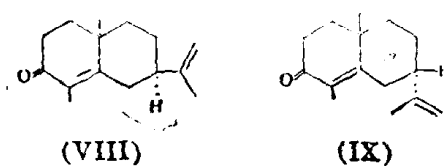


图 6

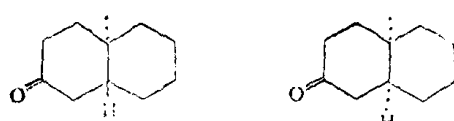


道年一类的萜类化合物 α -Cyperone (VIII) 及 epi- α -Cyperone (IX)，虽其結構上的区别极小，仅在 C_7 上異丙烯基構型不同而已，但是它們的旋光曲綫形态大不相同，VIII 的旋光曲綫形态与 Δ^4 -3-keto 的甾体的旋光曲綫譜极相近似。至若 axial 异構体 (IX)，即其 C_7 上的異丙烯基是直立的 (axial)，则与 8-iso-



Δ^4 -3-keto甾体(此种化合物的 B 或 C 环应成船形而存在)，具有相似的旋光曲綫形态。因此我們可以假定 IX 中因送进一个 axial 置換基，故使其 B 环局部或全部变为船形。

(四)測定絕對構型：根据 Djerassi 等的觀察，覺得甾体酮化合物的旋光曲綫形态(參看前圖)，大体上可以說是代表相當的簡單双环化合物的旋光曲綫情況。例如，Cholestan-3-one (IV，參看圖 5) 的旋光曲綫确与逆式 9-Methyl-3-decalone 的曲綫甚相近似，至若 Coprostan-3-one (V，參看圖 5) 則与順式 9-Methyl-3-decalone 具有极相近似的旋光曲綫。



逆式 9-methyl-3-decalone 順式 9-methyl-3-decalone

因为甾体的絕對構型根据其与 D-glyceraldehyde 的比較實驗，可以說已經証实，所以欲測定一个非甾体的酮体的絕對構型可將其旋光曲綫图与适应的甾体酮体的旋光曲綫譜相比較，则或可因此而达到目的。例如下图(图 7)中所示，19-Nortestosterone (X) 的旋光曲綫形态基本上与 Testosterone (XI) 的旋光曲綫相同(由此可見 A/B 环中直立的置換基对于旋光曲綫无关重要)。酮体 XII 按其結構而論是 Abietic acid 一类的樹脂酸化合物。我們可以將其構型写成与甾体 A/B 环相似的形式。然后再參看它的旋光曲綫图(图 7)，则可以看出它的旋光曲綫形态与 19-Nortestosterone (X) 几完全相同。因此可以推定，它的絕對構型应如

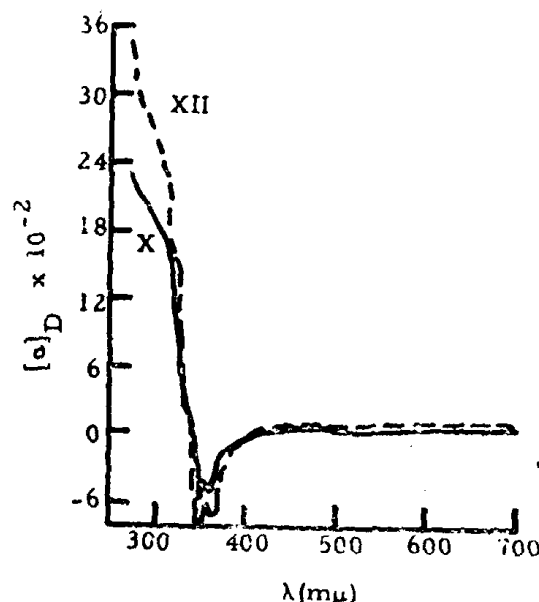
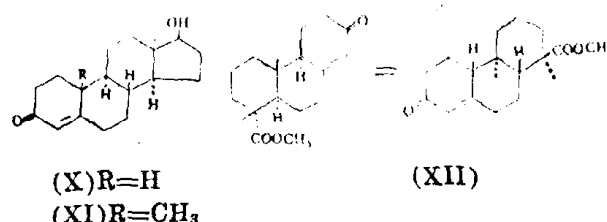


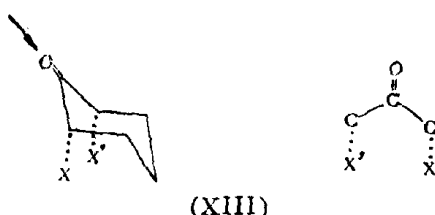
图 7



XII 所示。

下述实例是根据若干實驗而做成的定論 [參看 J. Am. Chem. Soc., 79 (1957)]，即如在环己酮的酮基的 α 位置送入一个在 equatorial 位置的氯或溴原子，则基本上并不影响母体的旋光曲綫的特征。由此可以推定，分子中酮基色羣 (C=O) 仍呈其主要作用。与此相反者，即在酮基的 α 位置送入一个 axial

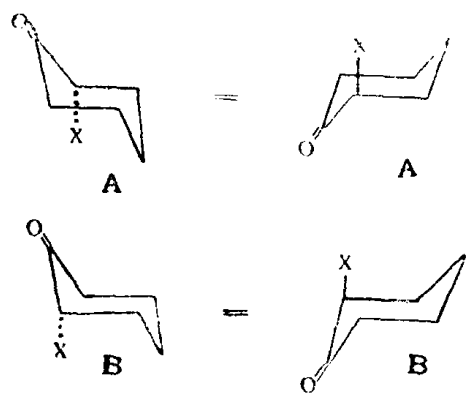
鹵素原子，则見其发生一定的作用，即 $\text{O}=\text{C}-\text{C}-\text{X}$ 作为一个特別的色羣而管制旋光曲綫形式。經過很多的試驗实例，我們可以得出下述規律，根据这种規律我們可以因察看物质的旋光曲綫形态而推定其某部的絕對構型。从另一方面說，如果一个物质之某部族的絕對構型已知，則根据下述規律可以正确地預料此种部族引起旋光曲綫的形态。下式 (XIII) 是將环己酮鹵素化合物写成椅子形，并且将酮基放在椅背的頭頂上。



如果按照箭头所表示的方向面对着酮簇觀察其鹵素的

結合鍵，則看見在 axial 位置的齒素在酮簇的左边 ($X' = Cl$ 或 Br) 或在右側 ($X = Cl$ 或 Br)。如果齒素原子在左边 (X')，則此物的旋光曲線必然在陰面(即在 Negative-面)；如果齒原子在右邊 (X)，則此物一定会产生一个旋光曲線在陽面(即 Positive)。換言之，如果我們測定一个 α -齒素酮體的旋光曲線是在陽面，則其絕對構型定是 B 而非 A ，如果旋光曲線在陰面，則當然正相反，即其絕對構型是 A 而非 B 。

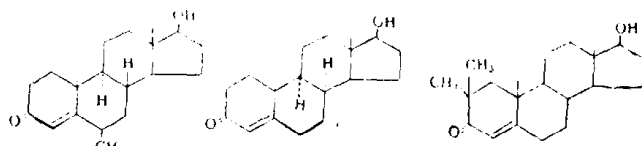
此外，对于应用旋光曲線測驗帮助推定結構及構型或構象，尚須补充几句說明，这就是 Djerassi 等最近發表的結果[參看 J. Am. Chem. Soc., 80, 4001 (1958)]。他們根据了很多的實驗，發現多環酮基化



合物往往因其分子中不均等中樞的变动而改变其旋光曲線特征，尤其是在酮基的一定地位送入烷基及双键，则母体的旋光曲線受到一定的极其显著的影响，

这种影响往往是由于歪曲了構象而发生。Djerassi 等曾以若干属于山道年及 butyrospermol 以及甾体系統的化合物作为实例，証明这种甲基及双键影响旋光曲線的觀察，可以作为根据来推定物質立体的情况。茲仅举一例簡單地說明如下：

Testosterone 在 C_6 位置上加入一个 equatorial 甲基，变为 6α -Methyl testosterone，但并不因此而变更其旋光曲線的基本形态。反之，如在 C_6 上加入一个 axial 甲基，变为 6β -Methyl testosterone，則其旋光曲線大为变更，并且其形态与 6β -Methyl testosterone，



8 -Isotestosterone, $2,2$ -Dimethyl testosterone 相似。因为 8 -Isotestosterone 已知其 B 环是船形，故可推定 6β -Methyl testosterone 或系因其 axial 甲基与 C_{10} 上 axial 甲基及 C_8 上 axial 原子发生地位上的影响，致使 B 环亦多少地向船形变动，因而大为变更其母体的旋光曲線形态。 $2,2$ -Dimethyl testosterone 虽有一个 axial 甲基存在，但其旋光曲線形态与 Testosterone 无大差異，因此更可推定 6β -Methyl testosterone 变更其母体旋光曲線形态并非是單因 axial 甲基存在之故，而实是因地位上的关系变更構象所致。

褐鈷鉻矿及其在矿物学和工业上的意义

郭承基

(中国科学院地质研究所)

根据我国某些地区的研究，对于褐鈷鉻矿等钇族稀土、鈾及钍的铌钽酸鹽矿物，获得了一些新的認識。在这些新的認識中，特別應該指出以下几点：

(1) 在未受后期交代作用的花崗岩中，褐鈷鉻矿等矿物可以富集成規模巨大的矿床。这是一种新的早期岩漿矿床类型，褐鈷鉻矿的分布与富集，在同一地区与一定时代的花崗岩及一定的岩相帶有关。

(2) 褐鈷鉻矿等铌钽酸鹽矿物不仅可以做为钇族稀土元素的資源进行小規模开采，而且可以做为铌、钽、鈾、钍及稀土类元素综合利用的对象来进行大规模的开采。从这种意义上來說，褐鈷鉻矿應該为一种新矿种。同时与褐鈷鉻矿共生或伴生的独居石、鋯英

石、鈦鐵矿及錫石等矿物也具有一定的工业价值。

(3) 产于早期岩漿矿床中的褐鈷鉻矿在物理性質(如晶形及晶体大小等)及化学組成上都具有一定的特征。充分利用这些特征將有助于花崗岩的对比、岩相帶的划分、区域地球化学以及褐鈷鉻矿来源(假如最初在砂矿中发现的話)的研究。

基于以上一些新情况的发现，今后对于褐鈷鉻矿这一类矿物有充分予以注意的必要。現在將关于褐鈷鉻矿的一般性問題，簡單地介紹于下，以供进一步研究时的参考。

一、产狀：褐鈷鉻矿最初于 1806 年在格陵蘭发现，以后相繼在挪威、苏联、瑞典、芬蘭、錫蘭、日